

Supplementary Materials

Sandalwood oils of different origins are active *in vitro* against *Madurella mycetomatis*, the major fungal pathogen responsible for eumycetoma

Shereen O. Abd Algaffar¹, Stephan Seegers², Prabodh Satyal³, William N. Setzer⁴, Thomas J. Schmidt^{2,*} and Sami A. Khalid^{1,*}

¹ Faculty of Pharmacy, University of Science and Technology, Omdurman, Sudan; phd_sh086@hotmail.com (S.O.A.A.); khalidseek@hotmail.com (S.A.K.)

² University of Münster, Institute of Pharmaceutical Biology and Phytochemistry (IPBP), PharmaCampus – Corrensstrasse 48, D-48149 Münster, Germany; s_seeg03@uni-muenster.de (S.S.), thomschm@uni-muenster.de (T.J.S.)

³ Essential Oil Science, dōTERRA International, 1248 W 700 S, Pleasant Grove, UT 84062, USA; psatyal@doterra.com (P.S.)

⁴ Department of Chemistry, University of Alabama in Huntsville, Huntsville, AL 35899, USA; wsetzer@chemistry.uah.edu (W.N.S.)

* Correspondence: thomschm@uni-muenster.de (T.J.S.); khalidseek@hotmail.com (S.A.K.)

Table S1. Complete list of constituents detected in the Sandalwood oils under study by GC-QTOF MS analysis using a DB-HeavyWax column.

	Acetyl dihydroalbe-													
101		2062			0,41		0,20	0,23	0,13	0,15	0,12			
	ne													
	5-(2,3-Dimethyltri-													
102	cyclo-heptan-3-	2063	0,37	0,39	0,22	0,24	0,39		0,26	0,22				
	yl)pentan-2-one													
103	n.d.	2066										0,21		
104	n.d.	2068										0,16		
105	n.d.	2069										0,08		
106	n.d.	2074										0,38		
107	α -Elemol	2076										9,02		
108	n.d.	2080	0,18	0,22	0,06	0,11	0,20	0,10	0,06	0,12	0,04	0,06		
109	Guaiol	2083										0,36		
110	n.d.	2092										0,30		
111	n.d.	2094										0,16		
112	10-epi- γ -Eudesmol	2094										6,67		
113	n.d.	2098										0,38		
114	n.d.	2102		0,04			0,05		0,07	0,09	0,06	0,06	0,10	0,08
115	n.d.	2105										0,09		
116	Zingiberenol	2109										0,09		
117	n.d.	2119										0,15		
118	n.d.	2119										0,12		
119	n.d.	2123	0,24									0,08		
120	n.d.	2124										2,01		
121	Cyclosantalal	2126	0,20	0,18	0,65	0,37	0,28	1,11	0,33	1,37	1,59	1,31	1,65	1,06
												0,49		
122	α -Acorenol	2126										0,50	0,27	
123	n.d.	2129										0,05		
124	n.d.	2134												
125	epi-Cyclosantalal	2134	0,06	0,10	0,16	0,08	0,07	0,33	0,05	0,27	0,32	0,22	0,32	0,19
												0,14		
126	n.d.	2136										2,20		
127	n.d.	2136										0,40		
128	n.d.	2139										0,59		
129	n.d.	2141										0,12		
130	Ylangenal	2146										7,98		
131	β -Bisabolol	2148	0,41	0,40	0,51	0,46	0,42	0,40	0,42	0,74	0,55	0,73	0,53	0,50
												0,48	2,10	1,99
132	n.d.	2149										0,07		
133	n.d.	2154										0,88		
134	n.d.	2154										0,22		
135	(E)- α -Santalal	2156	1,95	1,44	2,37	1,53	1,44	2,94	2,53	3,03	1,72	2,99	1,40	1,18
												0,85	0,21	0,43
136	γ -Eudesmol	2160										10,5		
137	n.d.	2161										0,93		

138	n.d.	2162																				0,42
139	n.d.	2164	0,12	0,32	0,15	0,23	0,29	0,24	0,16	0,28	0,11	0,44	0,19	0,16	0,09						0,26	0,22
140	Copaborneol	2168																				2,81
141	n.d.	2168																				0,53
142	n.d.	2169	0,09		0,10																	0,19
143	n.d.	2173	0,12		0,62	0,22	0,14	0,45	1,11		0,36	0,30	0,25	0,39	0,33							0,20
144	n.d.	2174	0,27	0,41		0,34	0,31	0,12		0,41		0,10										
145	n.d.	2176																				
146	τ -Cadinol	2177																			0,52	0,70
147	n.d.	2186	0,07	0,04	0,06	0,06	0,05	0,08	0,14	0,16	0,13	0,25	0,09	0,09	0,08						0,26	0,49
148	α -Muurolol	2188																				2,13
149	n.d.	2190																			0,12	
150	n.d.	2190																				0,68
151	n.d.	2194																				0,15
152	n.d.	2196	0,07	0,04	0,18	0,03		0,10	0,28	0,05	0,20	0,17	0,12	0,15	0,09							
153	n.d.	2200																				0,98
154	Bulnesol	2201																			0,64	
155	Valerianol	2203																				21,3
																						8
156	Cadalene	2207																				3,85
157	7-epi-alpha-Eudesmol	2208																				6,86
158	α -Bisabolol	2212	0,06	0,06	0,10	0,20	0,12	0,14	0,10	0,28	0,31	0,19	0,38	0,53	0,58						7,45	2,74
159	n.d.	2214																				7,18
160	β -Eudesmol	2215																				11,4
																						9
161	n.d.	2216																				0,33
162	8,14-Cedranediol	2219																			0,18	0,42
163	α -Cadinol	2220																				1,05
164	n.d.	2222	0,17	0,14	0,20	0,15	0,13	0,19	0,25	0,27	0,13	0,36	0,05	0,26	0,03	0,09						
165	n.d.	2228																				0,32
166	n.d.	2232																				0,18
167	n.d.	2235																				0,17
168	(Z)- β -Santalal	2238	0,55	0,45	0,53	0,38	0,52	0,44	0,81	0,26	0,12	0,22	0,08	0,10	0,10	0,13	0,15					
169	n.d.	2238																				0,20
170	n.d.	2242																				0,23
171	n.d.	2246																			0,90	
172	n.d.	2248																				0,08
173	(E)- β -Santalal	2249	0,12	0,05	0,28	0,10	0,09	0,22	0,48	0,19	0,16	0,23	0,11	0,13	0,10		0,10					
174	n.d.	2249																				0,18
175	α -Terasantalicacid	2255	0,48	0,50	0,60	0,45	0,49	0,47	0,52	0,57	0,42	0,40	0,42	0,46	0,43		0,43					

176	n.d.	2255																		0,07
177	n.d.	2259																		0,40
178	n.d.	2264																		0,08
179	n.d.	2268																		0,43
180	n.d.	2271																		0,10
181	Camphenol	2273	0,49	0,54	0,73	0,37	0,55	0,53	0,43	0,49	0,32	0,49	0,30	0,31	0,27	0,44				
182	Bisabolone**	2274																		0,60
183	n.d.	2282																		0,11
184	Ylangenol	2287																		11,56
185	Bisabolone**	2288																		0,68
186	n.d.	2290																		1,41
187	n.d.	2297																		0,26
188	n.d.	2297	0,07	0,07		0,09	0,11	0,29	0,18	0,27	0,19	0,15	0,07		0,46	1,00				
189	n.d.	2298																		0,06
190	n.d.	2303																		0,31
191	n.d.	2303	0,14																	
192	n.d.	2305																		0,17
193	n.d.	2311	0,02	0,02			0,06	0,10	0,05	0,04	0,19	0,21		0,18	0,83					
194	n.d.	2314																		0,40
195	n.d.	2316																		0,20
196	n.d.	2323																		0,11
197	n.d.	2326	0,03	0,02	0,18	0,15	0,06	0,21	0,17	0,35	0,43	0,47	0,37	0,27	0,15	0,71	0,99			
198	n.d.	2329																		0,33 0,75
199	Humulane-1,6-dien-3-ol	2330																		0,76
200	(Z)- α -Santalol	2339	49,3	48,2	49,2	46,3	48,4	50,6	48,2	42,3	47,0	45,8	47,4	46,1	45,3	31,9	21,1			0,39
			9	3	7	3	6	5	4	6	0	7	7	4	6	0	3			
201	n.d.	2345	0,06								0,14									0,66
202	(Z)-trans- α -Bergamotol	2350	5,76	6,75	4,35	7,06	6,74	4,61	4,11	4,49	5,03	3,43	5,37	5,66	5,86	2,32	3,46			
			9	3	7	3	6	5	4	6	0	7	7	4	6	0	3			
203	(2E,6E)-Farnesol	2351							t	t	t	t	t	0,42		10,1			3,35 0,30	
																5				
204	4-Isopropyl-6-methyl-1-tetralone	2353																		1,35
205	n.d.	2355							0,10							0,15	0,57			
206	n.d.	2357																		0,74
207	n.d.	2363																		0,54 1,20
208	n.d.	2365	0,13	0,08	0,21	0,25	0,10	0,17	0,17	0,33	0,38	0,51	0,19	0,29	0,06		1,85	1,78		
209	n.d.	2365															0,43			
210	n.d.	2366																		0,21
211	8-Cedrene-13-ol	2371	0,10				0,22	0,05	0,22	0,05	0,03	0,04		0,32	0,65					

245	n.d.	2583	0,02	0,04
246	n.d.	2593		0,25
247	n.d.	2610	0,16	0,10 0,16 0,09 0,13
248	n.d.	2613		0,09
249	n.d.	2621		0,24
250	8-Ketoylangenal	2630		1,71
251	8-Ketocopaenal	2657		1,31
252	n.d.	2667		0,27
253	α -Teresantalic acid	2675	0,29 0,33	0,22 0,31 0,16 0,09
254	n.d.	2693		0,07
255	n.d.	2698		0,12
256	n.d.	2703		0,15
257	n.d.	2706		0,06
258	n.d.	2709	0,03	0,01 0,03
259	n.d.	2762		0,10
260	n.d.	2798		0,39
261	n.d.	2824		0,21
262	n.d.	2828		0,18
263	n.d.	2880		0,10
264	n.d.	2891		0,11 0,08
265	n.d.	2911		0,08 0,43 0,15 0,19 0,29
266	n-Hexadecanoicacid	2938	0,95 0,76	1,09 0,42 0,91 0,81 0,93 0,74 1,24 0,63 0,97 0,80 0,57 1,36 1,05 1,08 0,59 0,96
267	n.d.	2983	0,48	
268	n.d.	3008	0,17 0,29	0,75 0,32
269	n.d.	3116	0,73	
270	n-Octadecanoicacid	3152	0,72	1,11 0,21 0,52 0,50 0,50 0,49 0,37 0,38 0,48 0,62 0,77 0,30
271	n.d.	3163		0,23
272	n.d.	3190		
273	n.d.	3197		
274	n.d.	3214	0,30	0,22

Table S2. Complete list of constituents detected in the Sandalwood oils under study by GC-QTOF MS analysis using a DB-5 column.

29	n.d.	1472	0,04	0,04		0,12	0,07		0,21	0,19	0,05					
30	n.d.	1480														0,09
31	γ -Muurolene	1481														0,34
32	γ -Curcumene	1482	0,02				0,14			0,03		0,21	0,56	0,22		
33	Amorpha-4-11-diene	1484														0,14
34	n.d.	1485								0,09						
35	α -Amorphene	1485														12,09
36	α -Curcumene	1486	0,40	0,39	0,37	0,28	0,33	0,29	0,43	0,37	0,39	0,39	0,31	0,35	0,26	0,53 0,84 2,08
37	cis-4-10-Epoxyamorphane	1487														0,80
38	trans- β -Bergamotene	1489		0,03						0,09						
39	n.d.	1490														0,08
40	n.d.	1491								0,07						
41	n.d.	1496				0,40			0,55	0,64						
42	10,11-Epoxycalamenene	1497														0,75
43	α -Zingiberene	1499				0,05					0,13	0,69	0,73			
44	Pentadecane	1500							0,22							0,49
45	γ -Amorphene	1501														2,76
46	n.d.	1502							0,02							
47	n.d.	1504							0,04							
48	α -Muurolene	1505														1,25
49	n.d.	1505							0,15							
50	Dihydroagarofura	1508														0,57
51	β -															
51	β -Bisabolene	1511	0,04	0,05	t	0,08	0,07	0,03	t	0,12	0,31	0,08	t	t	0,25	0,05 0,11 1,87 0,75
52	2,4-di-tert-butylphenol	1511			0,07	t	t	t	1,26		t	t	1,83	1,85		
53	β -Cadinene	1512														0,48
54	β -Curcumene	1514	0,11	0,15	0,06	0,12	0,09	t	t	0,26	0,16	0,11	0,15	0,16	0,10	0,53 1,30
55	n.d.	1515														0,52
56	n.d.	1516														0,02
57	Sesquicineole	1517														0,23 0,16
58	γ -Cadinene	1519														0,72
59	n.d.	1519														0,24
60	5-(2,3-Dimethyltriylo)pentan-2-one	1521	0,33	0,39		0,23	0,34	0,12		0,29						

170	n.d.	1738														0,48	
171	Bisabolone**	1741														0,53	
172	n.d.	1742	0,07		0,22									0,02	0,38		
173	n.d.	1746	0,18	0,54	0,22	0,98	0,33										
174	n.d.	1747														1,46	
175	n.d.	1748				0,38				0,28	0,39	0,12			0,36		
176	n.d.	1750		0,23	0,19				0,22	0,24							
177	(Z)-β-Curcumene-12-ol	1753	0,11	0,18	0,06	0,35	0,12	0,02	1,59	0,58	0,48	0,46	0,29	0,30	5,74	9,90	
178	Drim-7-en-11-ol	1754														1,92	
179	(Z)-Lanceol	1756	0,99	0,89	0,98	2,46	2,33	1,27	1,32	2,78	6,83	1,81	4,91	7,93	10,5 5	32,8 6	
180	n.d.	1764														0,24	
181	(E)-Nuciferol	1766														0,29	0,79
182	n.d.	1773														0,10	
183	n.d.	1775	0,11	0,20													
184	n.d.	1776														0,10	
185	n.d.	1778														0,35	
186	n.d.	1787			0,17											0,21	0,19
187	n.d.	1790		0,24		0,08			0,21	0,20	0,21					0,68	0,62
188	n.d.	1795														0,13	
189	14-Hydroxy-δ-Cadinene	1797														0,23	
190	n.d.	1804														0,17	
191	8-Ketocopaenal	1807														1,61	
192	8-Ketoylangenal	1821														1,62	
193	n.d.	1837		0,05													
194	n.d.	1866														0,07	
195	n.d.	1879														0,26	

t=tentative

**= stereoisomer not determined

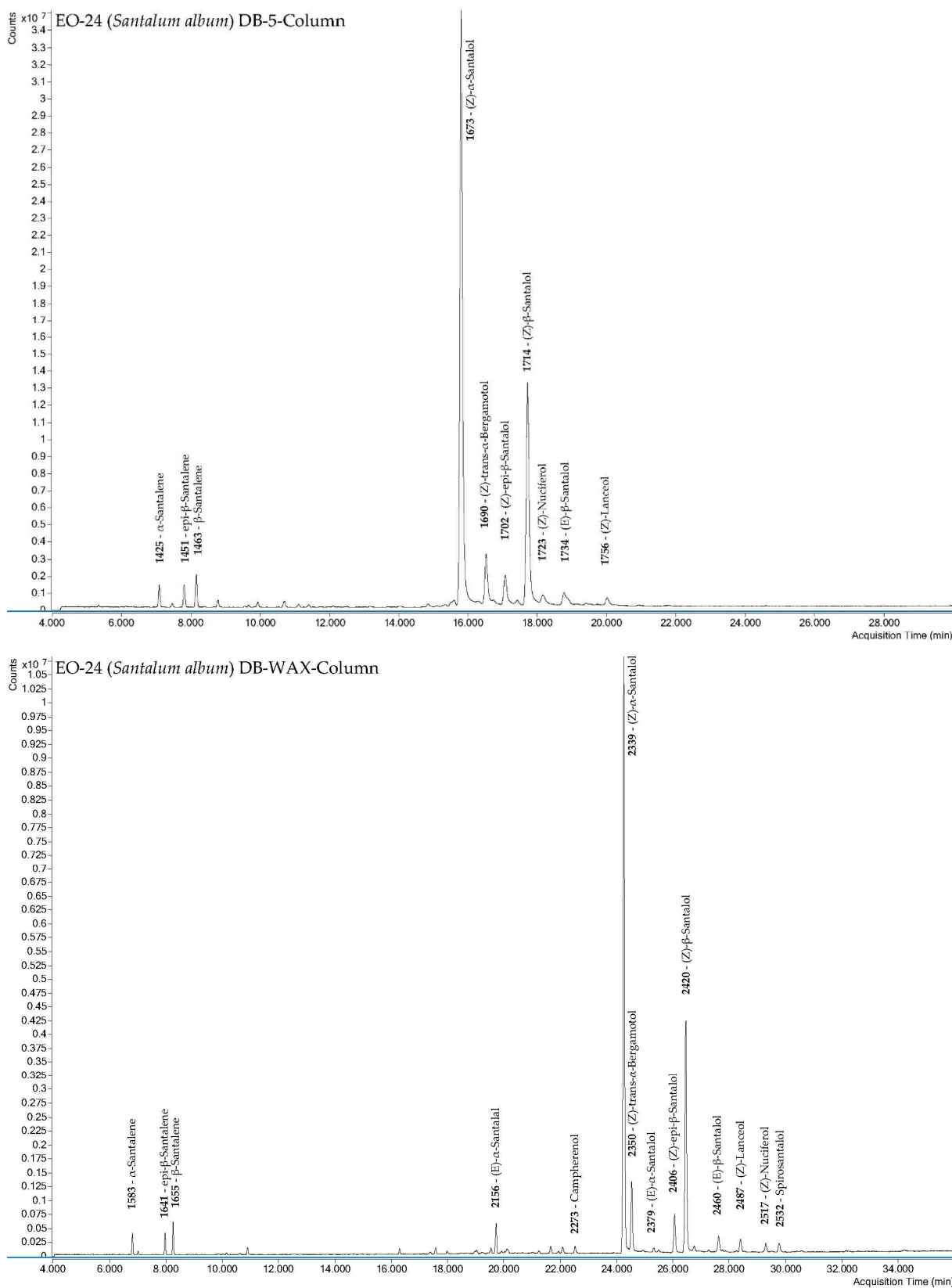


Figure S1. GC-MS chromatograms of EO-24 on DB-5 and DB-HeavyWAX-columns

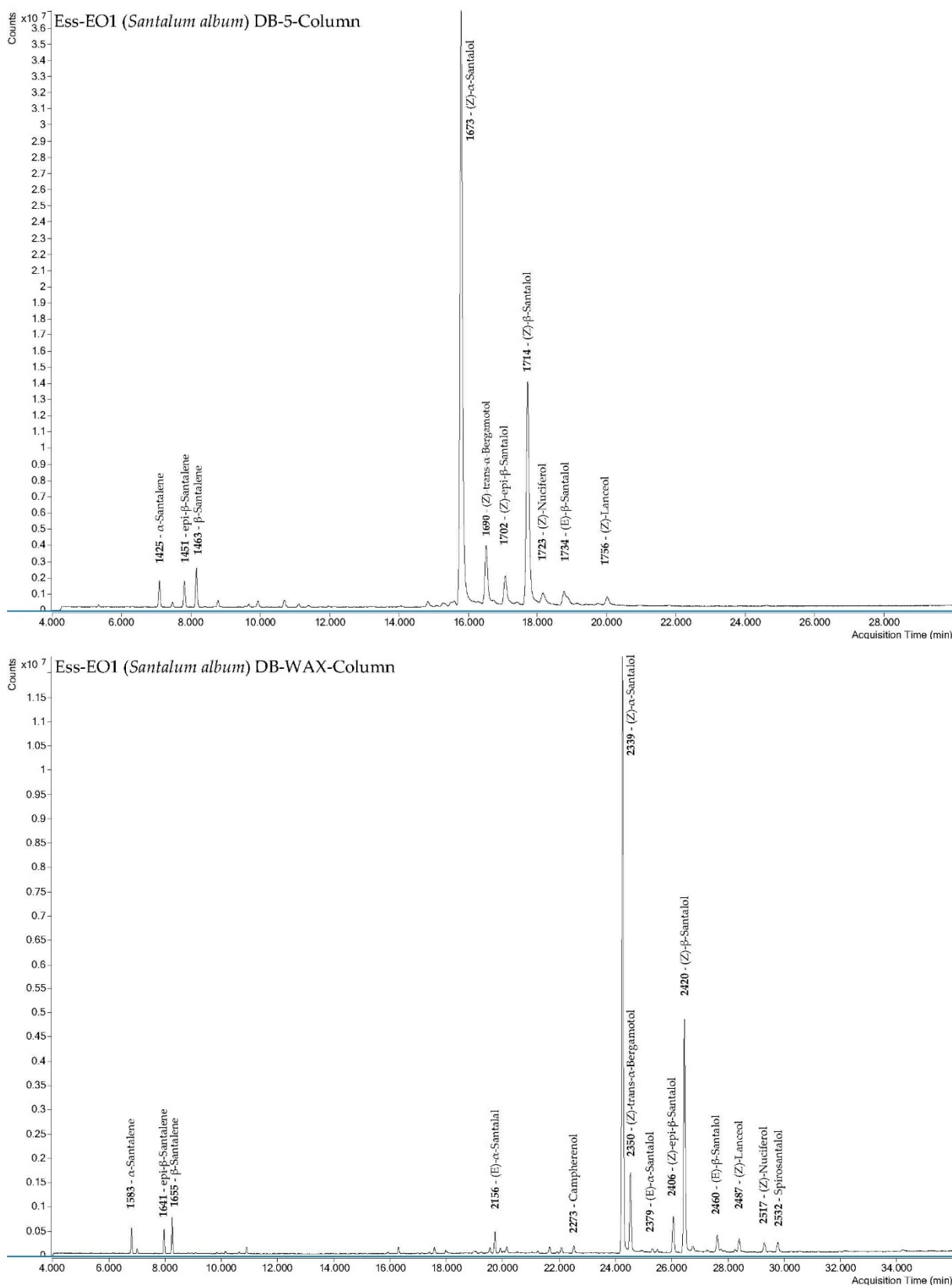


Figure S2. GC-MS chromatograms of Ess-EO1 on DB-5 and DB-HeavyWAX-columns

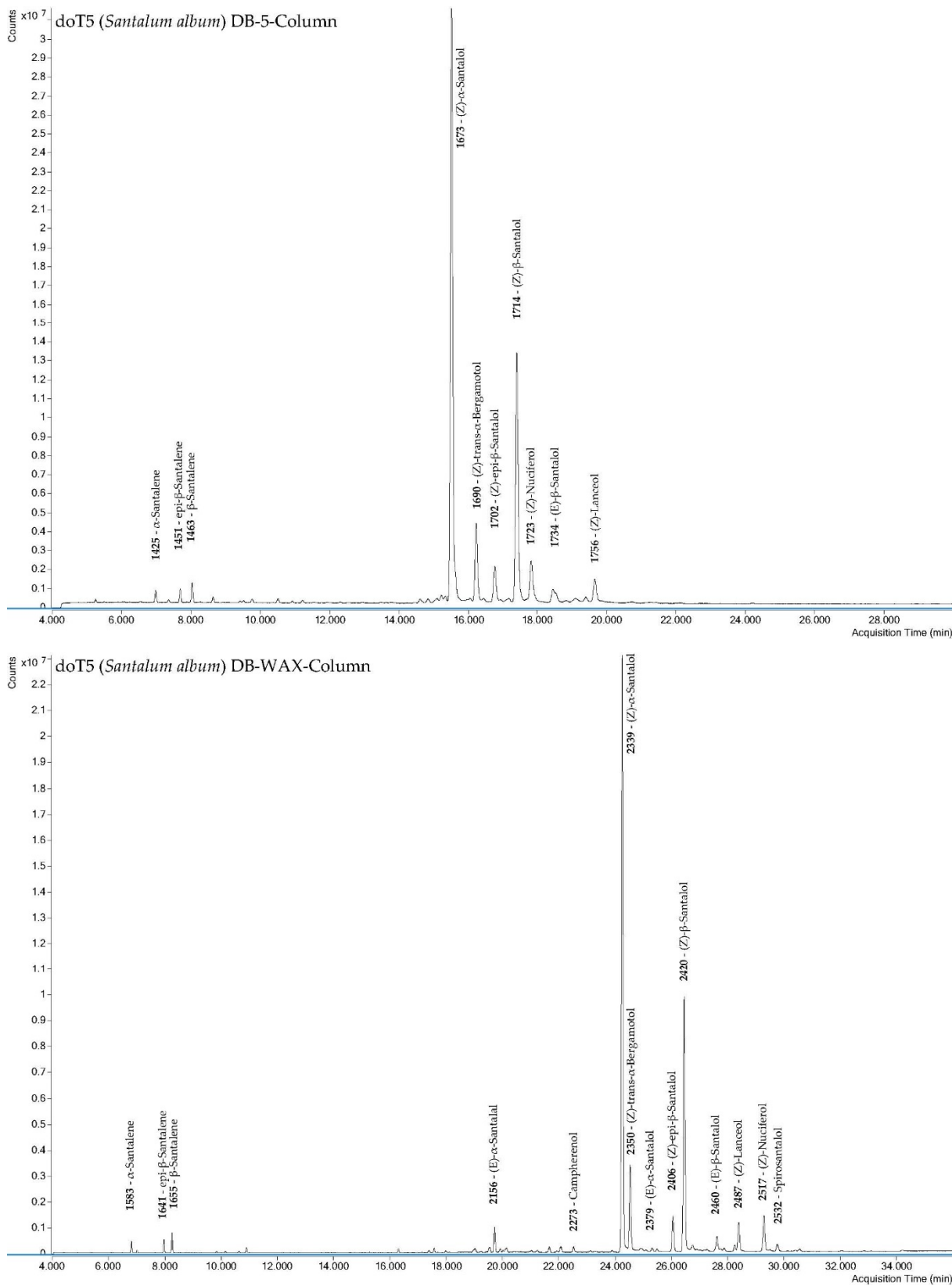


Figure S3. GC-MS chromatograms of doT5 on DB-5 and DB-HeavyWAX-columns

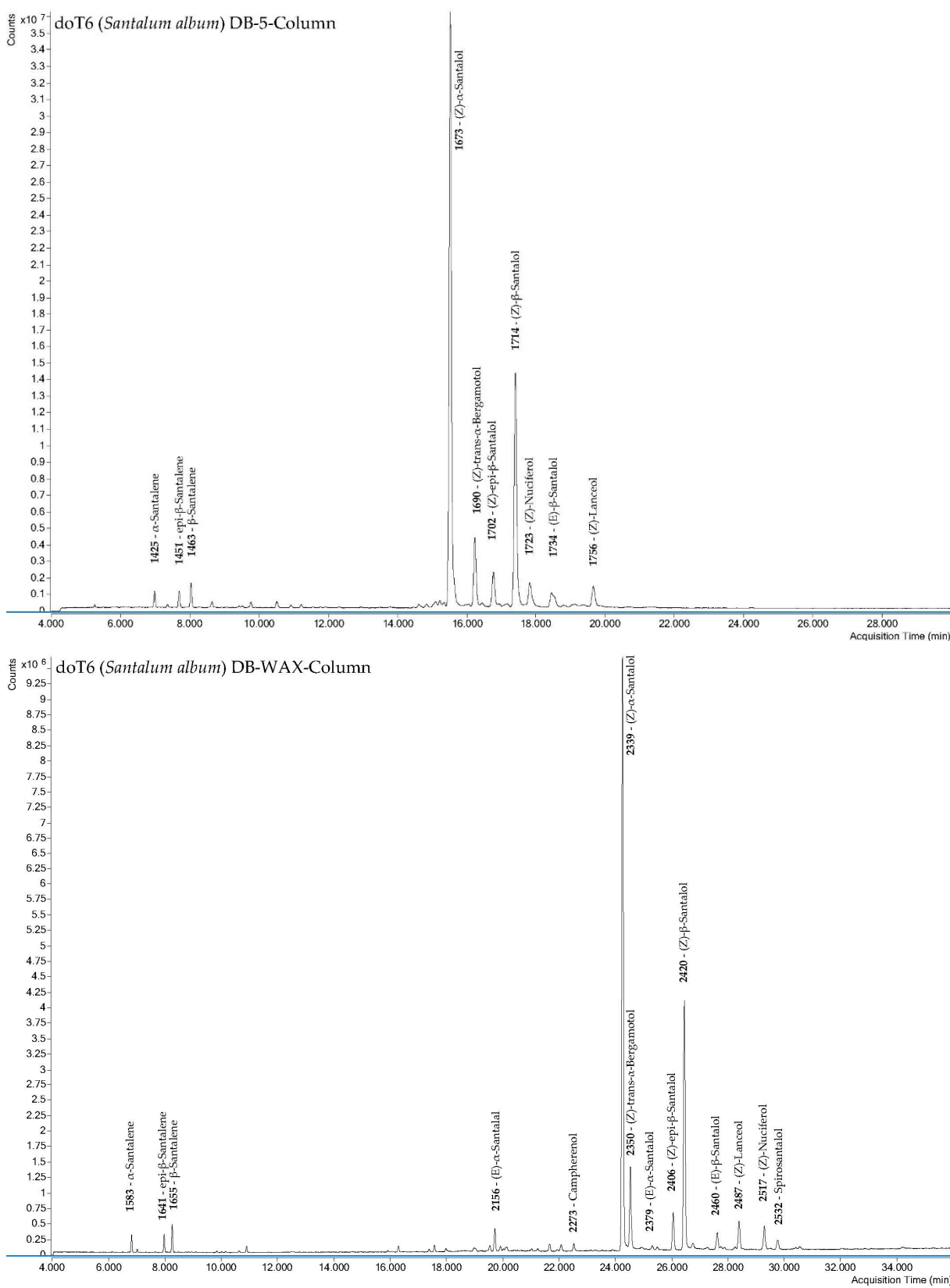


Figure S4. GC-MS chromatograms of doT6 on DB-5 and DB-HeavyWAX-columns

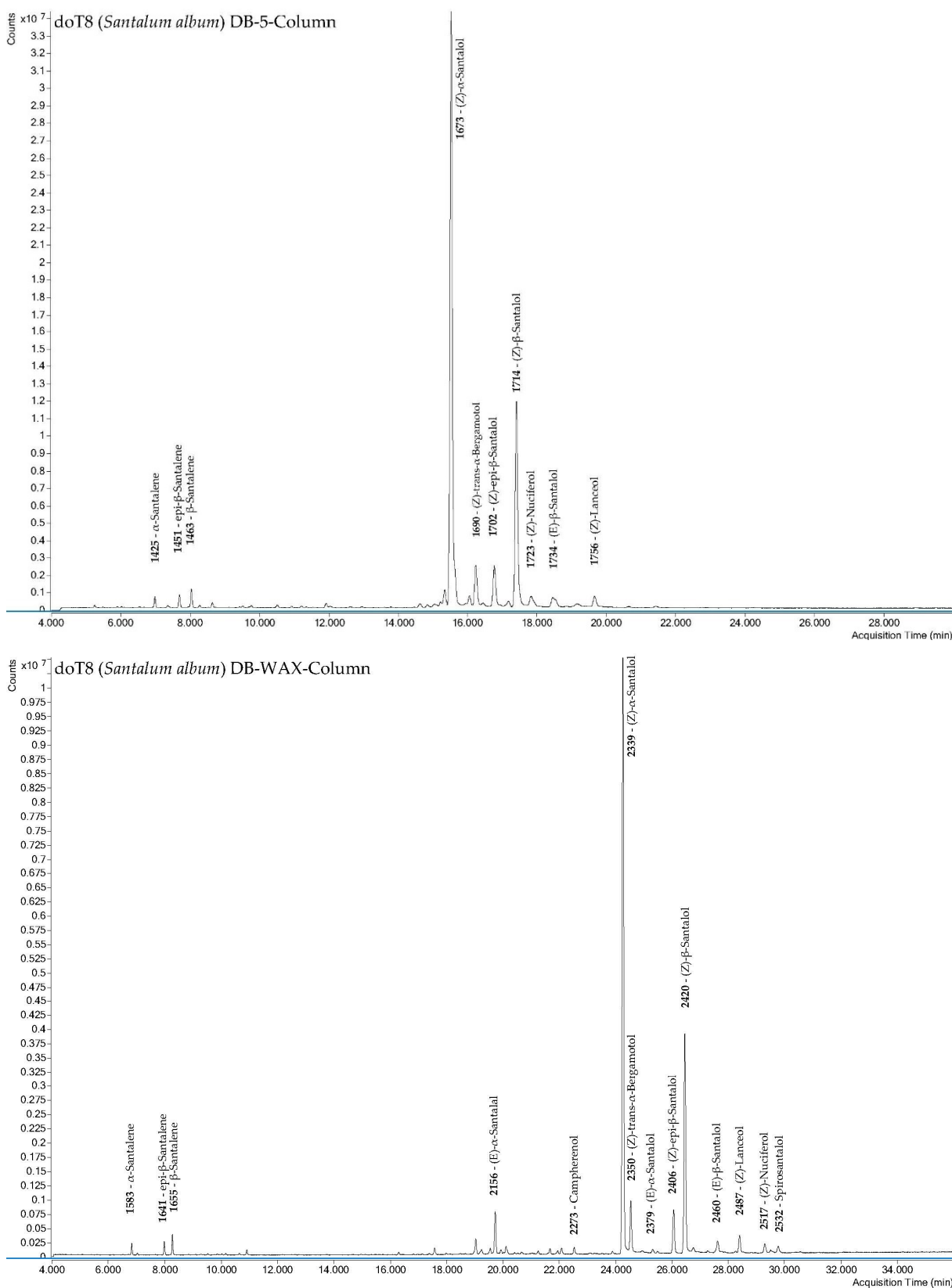


Figure S5. GC-MS chromatograms of doT8 on DB-5 and DB-HeavyWAX-columns

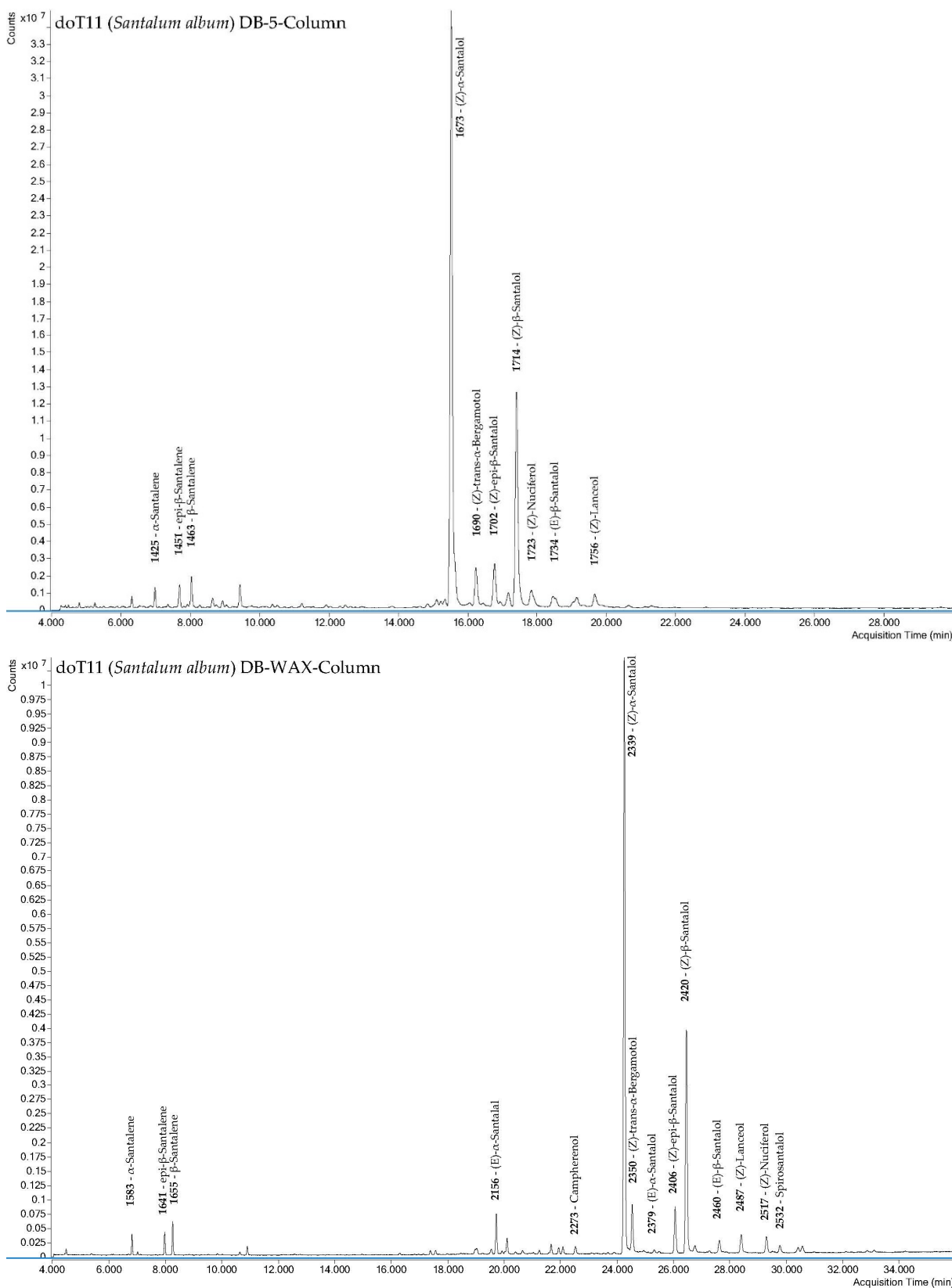


Figure S6. GC-MS chromatograms of doT11 on DB-5 and DB-HeavyWAX-columns

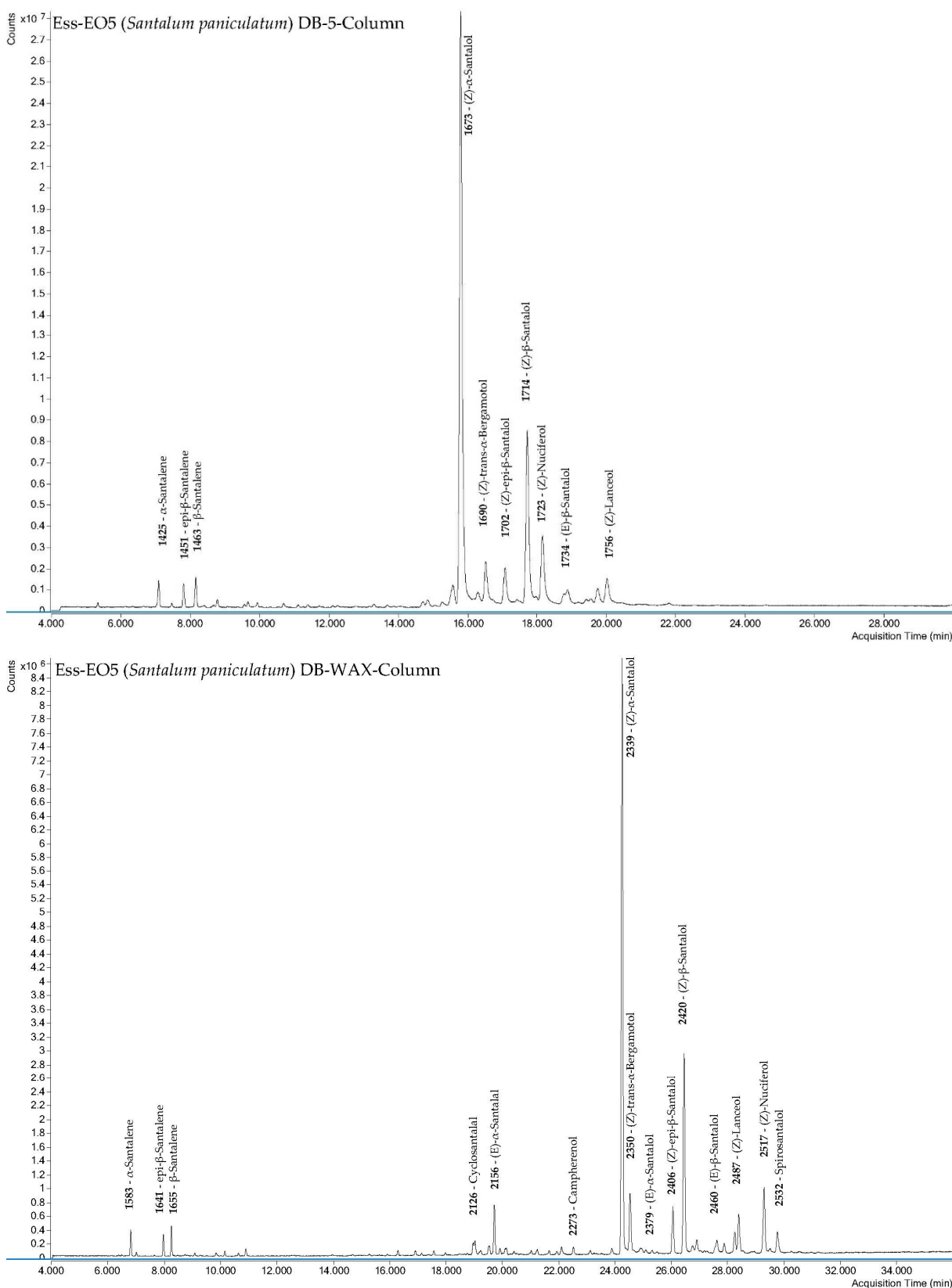


Figure S7. GC-MS chromatograms of Ess-EO5 on DB-5 and DB-HeavyWAX-columns

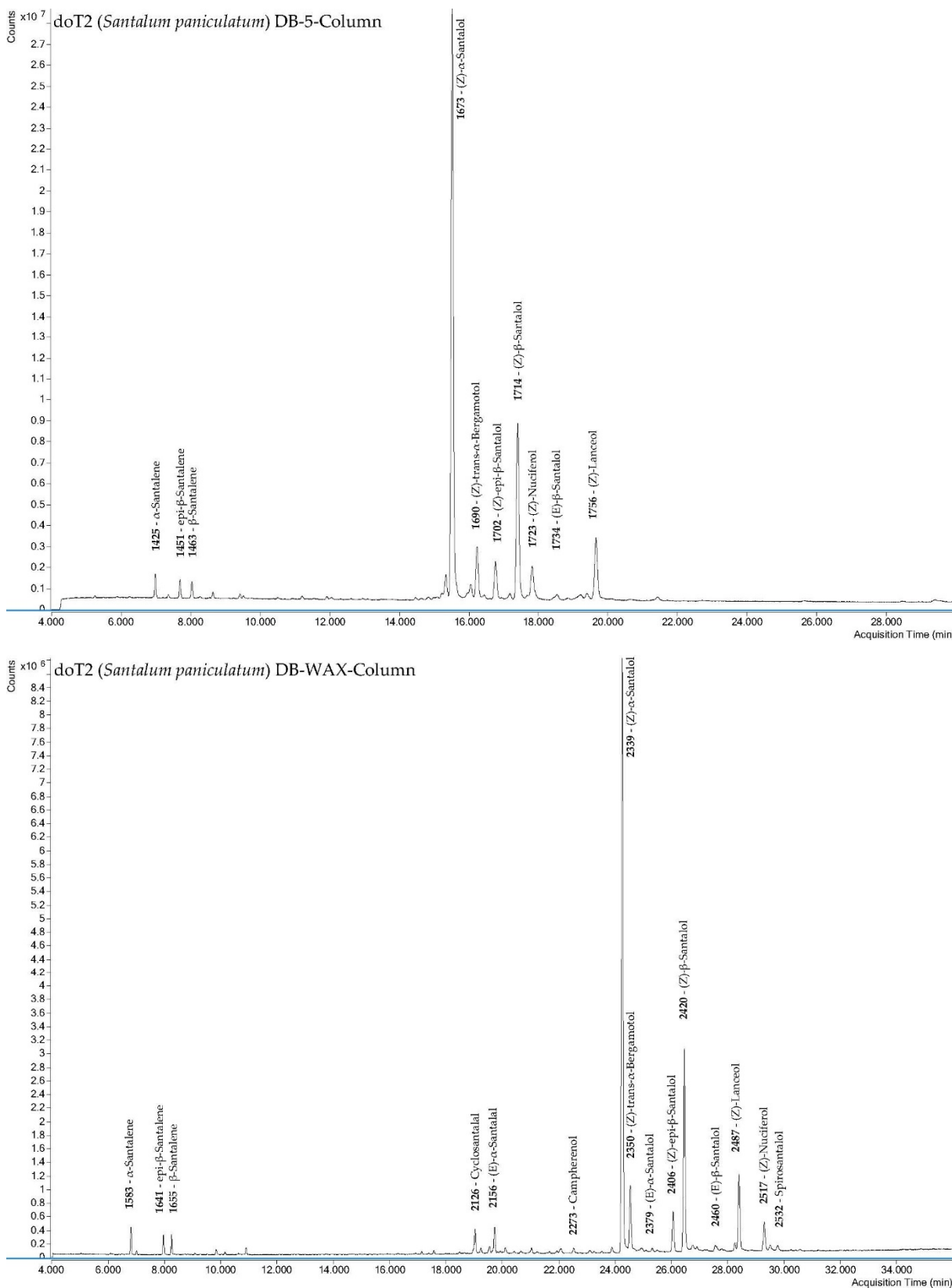


Figure S8. GC-MS chromatograms of doT2 on DB-5 and DB-HeavyWAX-columns

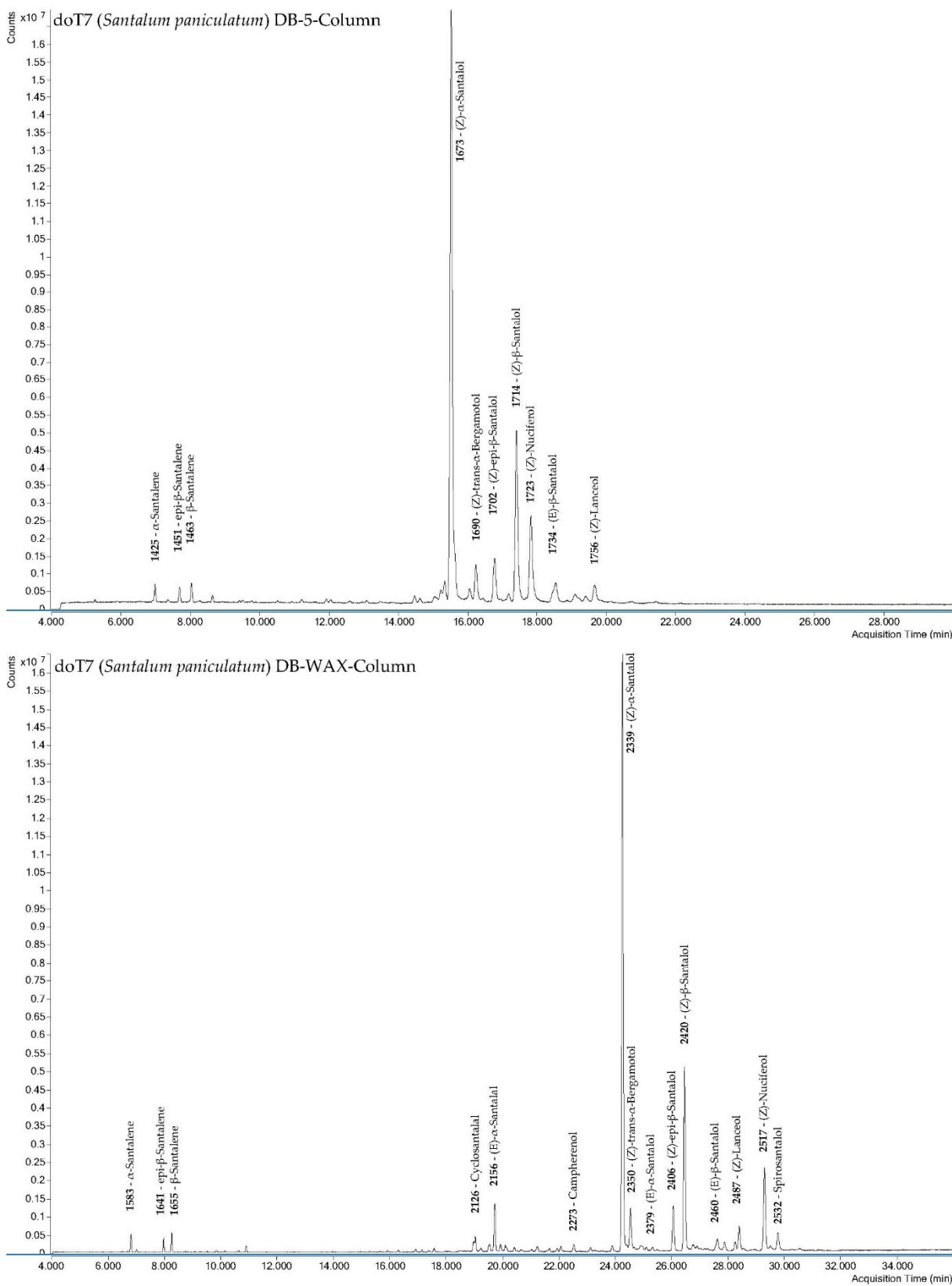


Figure S9. GC-MS chromatograms of doT7 on DB-5 and DB-HeavyWAX-columns

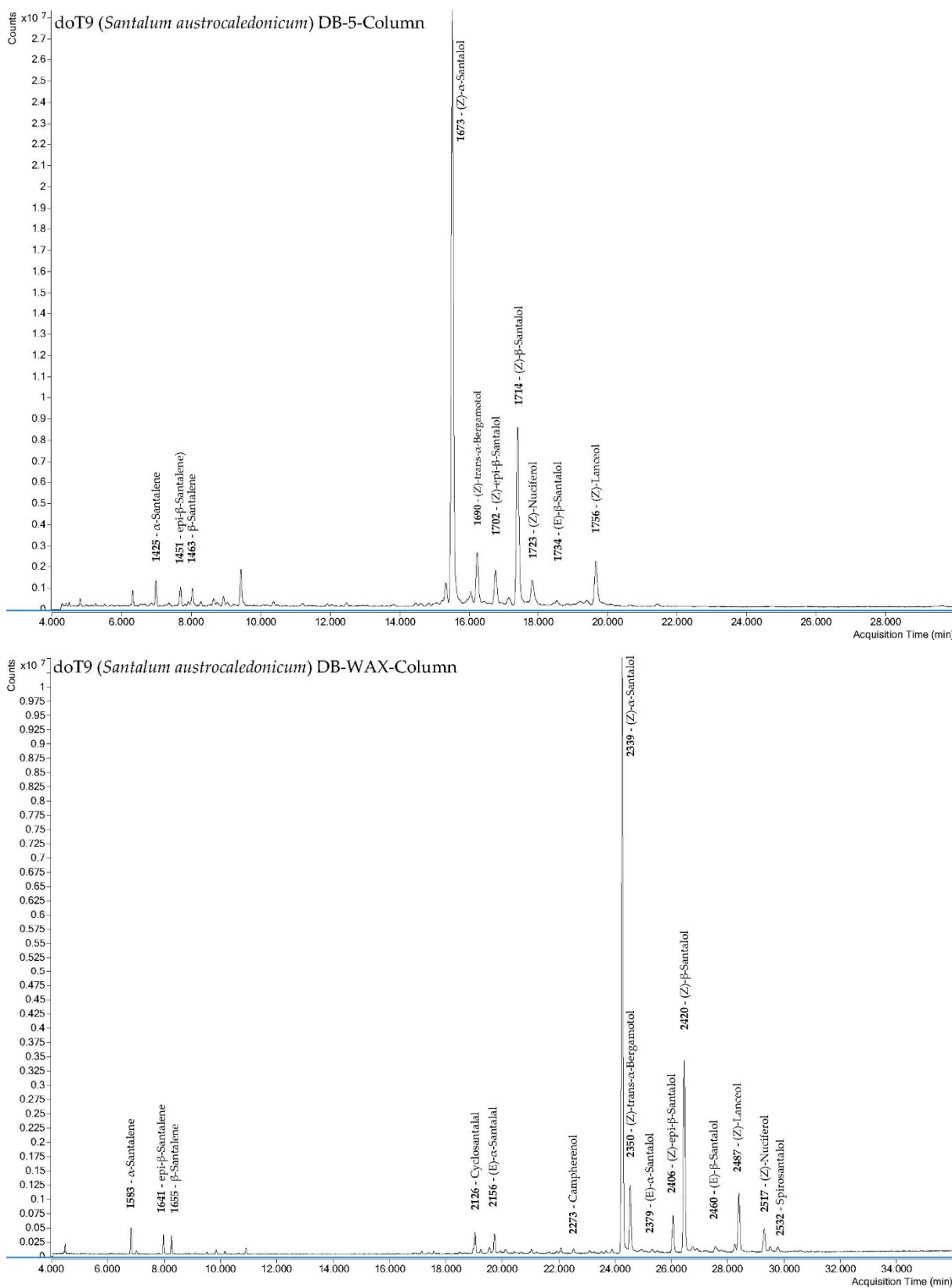


Figure S10. GC-MS chromatograms of doT9 on DB-5 and DB-HeavyWAX-columns

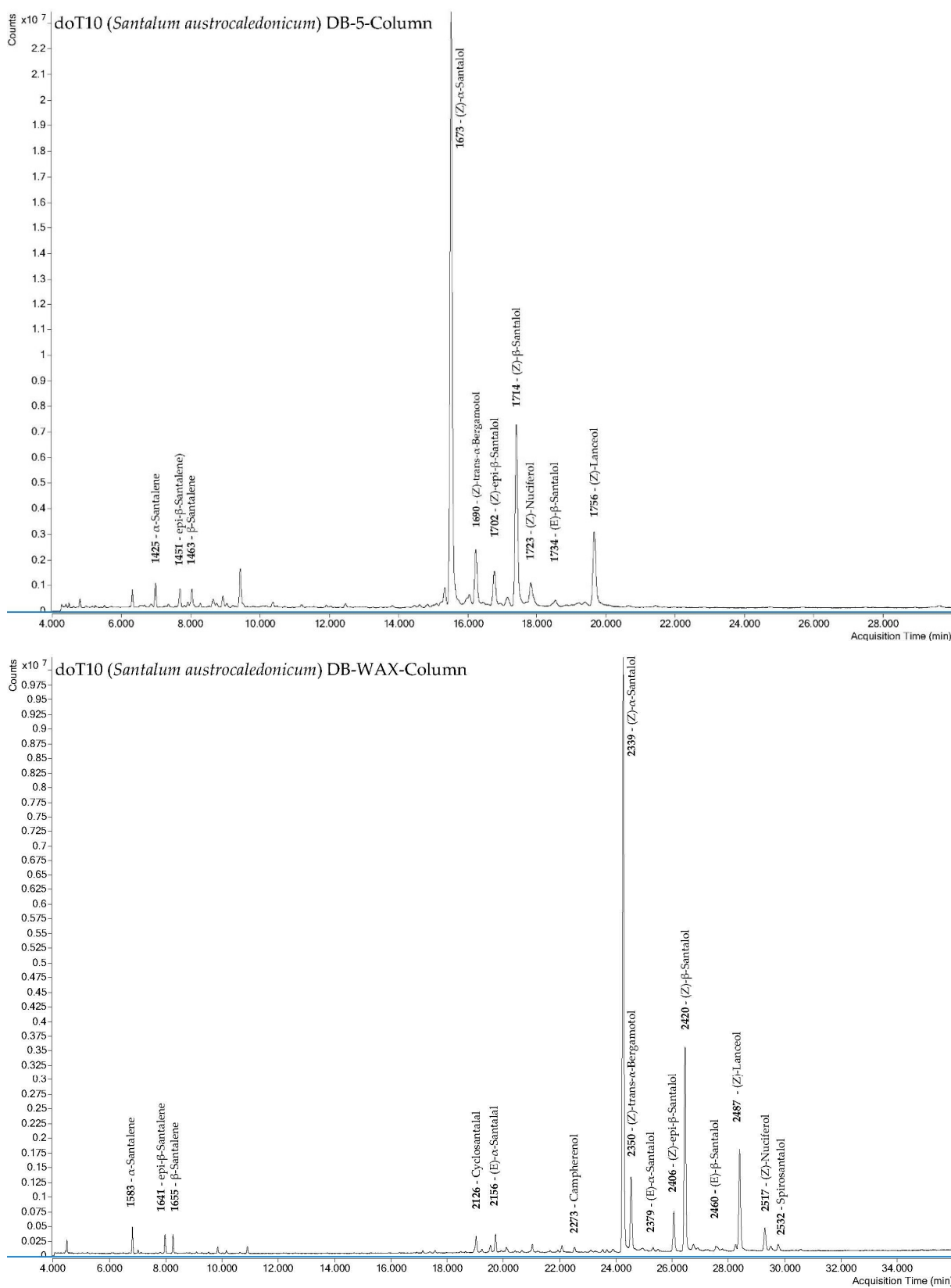


Figure S11. GC-MS chromatograms of doT10 on DB-5 and DB-HeavyWAX-columns

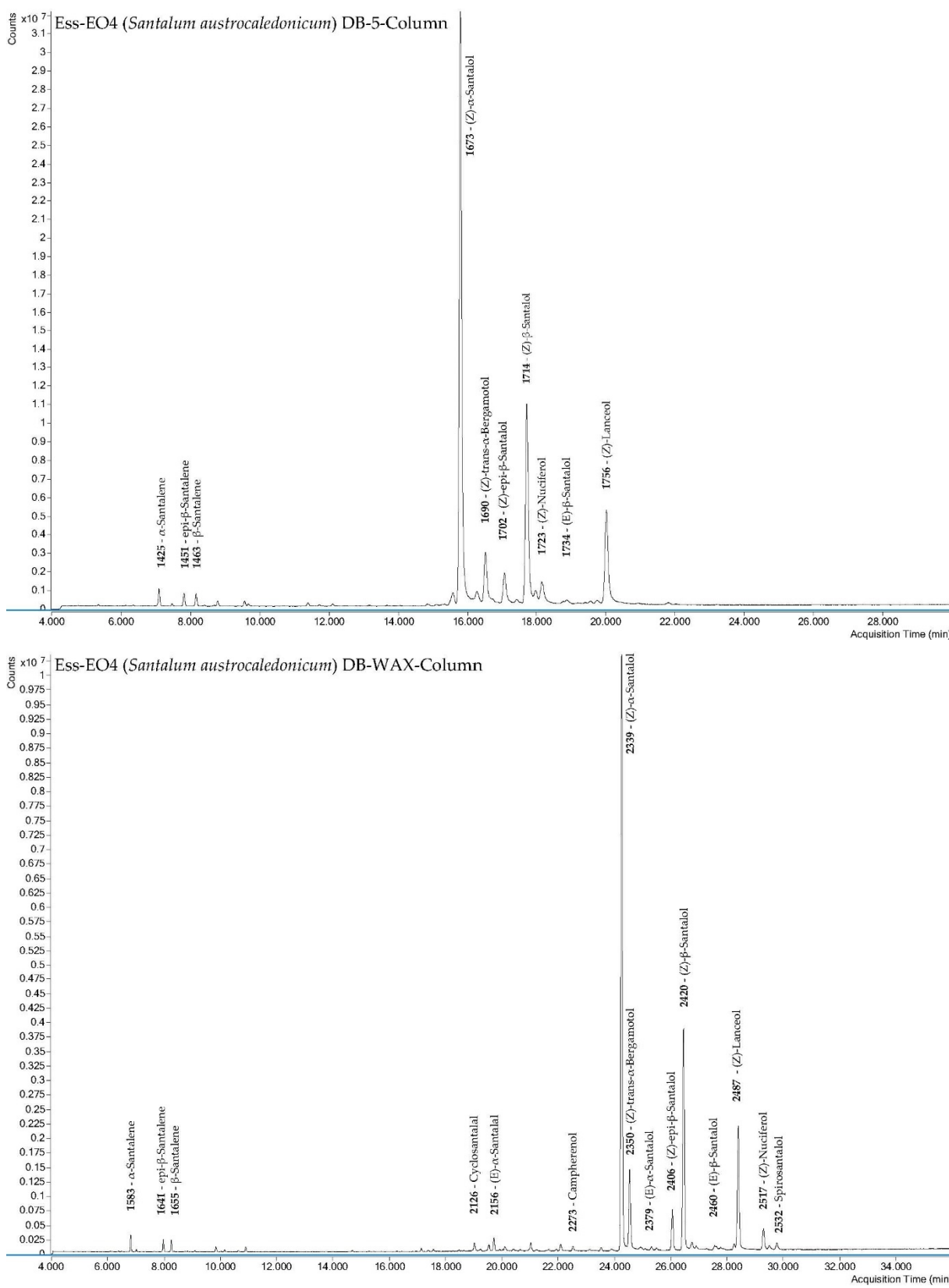


Figure S12. GC-MS chromatograms of Ess-EO4 on DB-5 and DB-HeavyWAX-columns

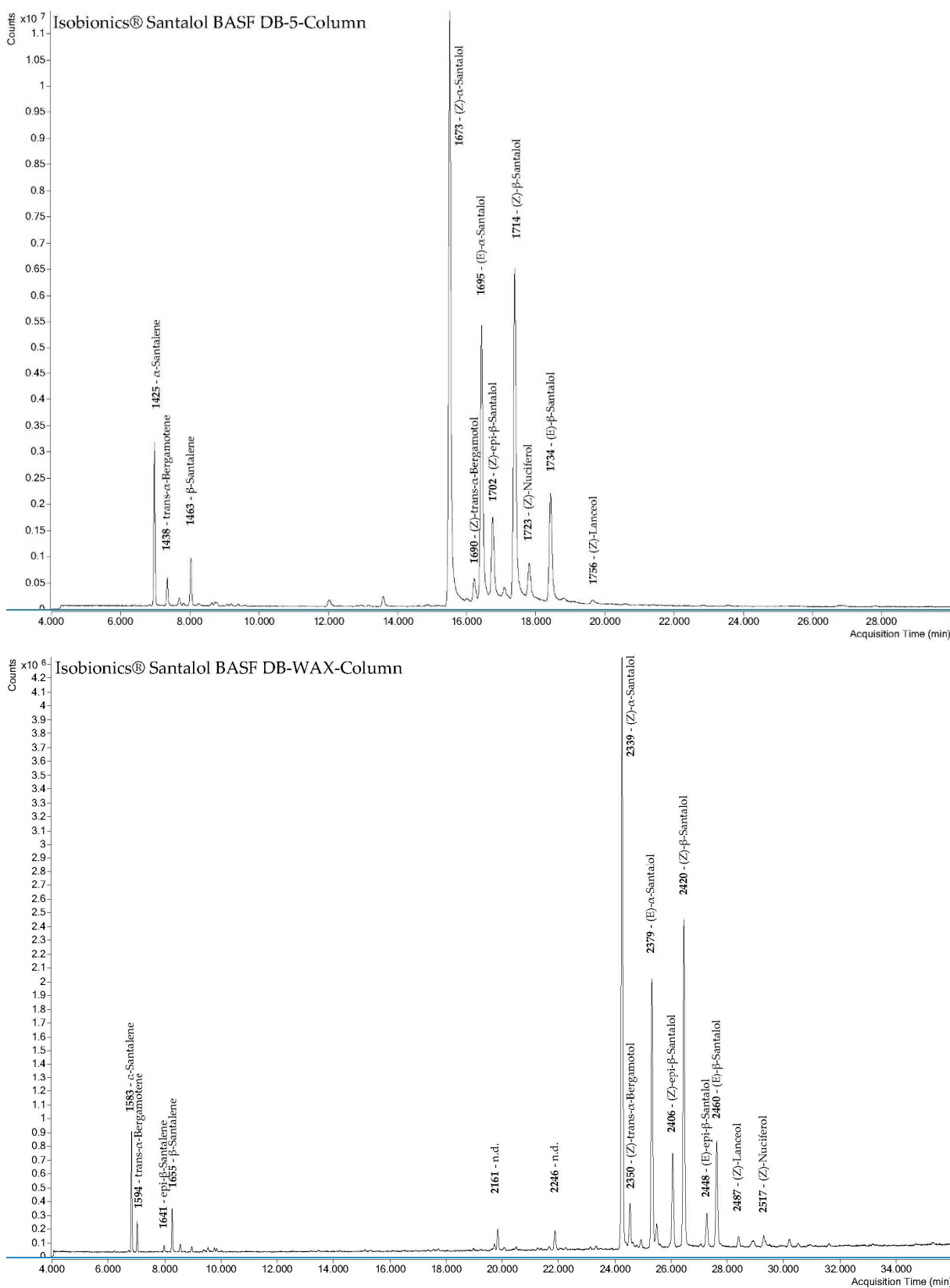


Figure S13. GC-MS Chromatograms of Isobionics® Santalol on DB-5 and DB-HeavyWAX-columns

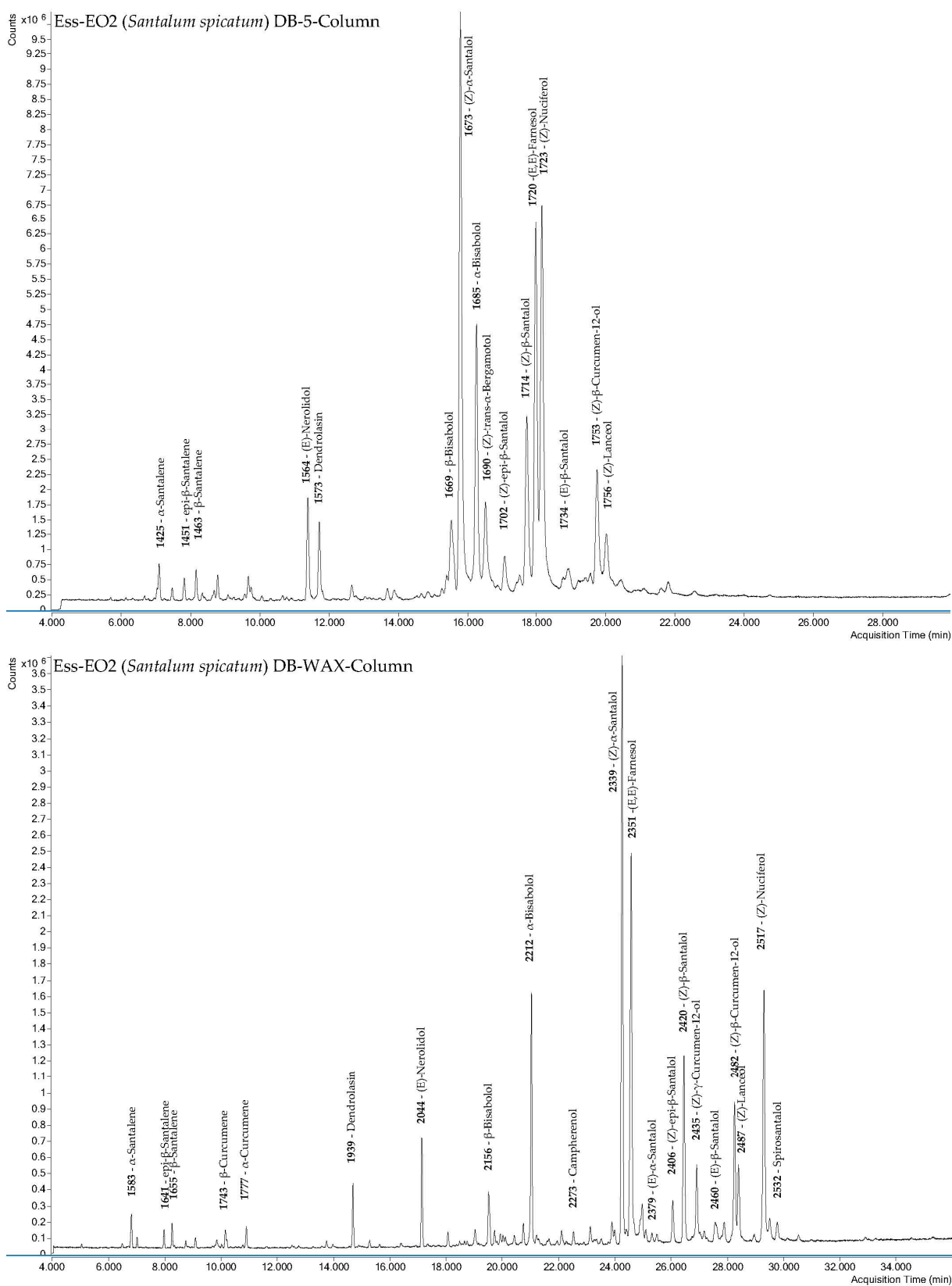


Figure S14. GC-MS chromatograms of Ess-EO2 on DB-5 and DB-HeavyWAX-columns

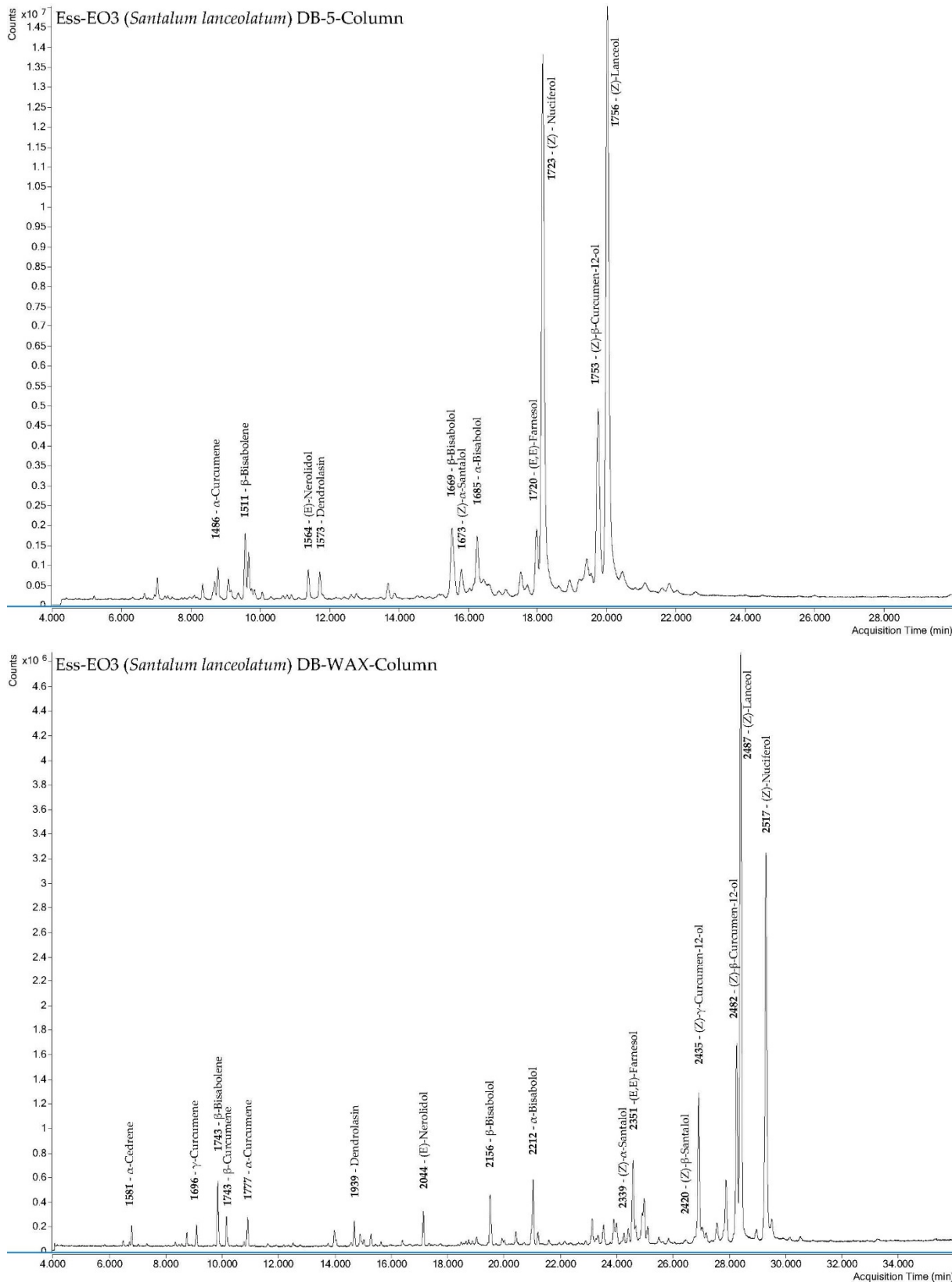


Figure S15. GC-MS chromatograms of Ess-EO3 on DB-5 and DB-HeavyWAX-columns

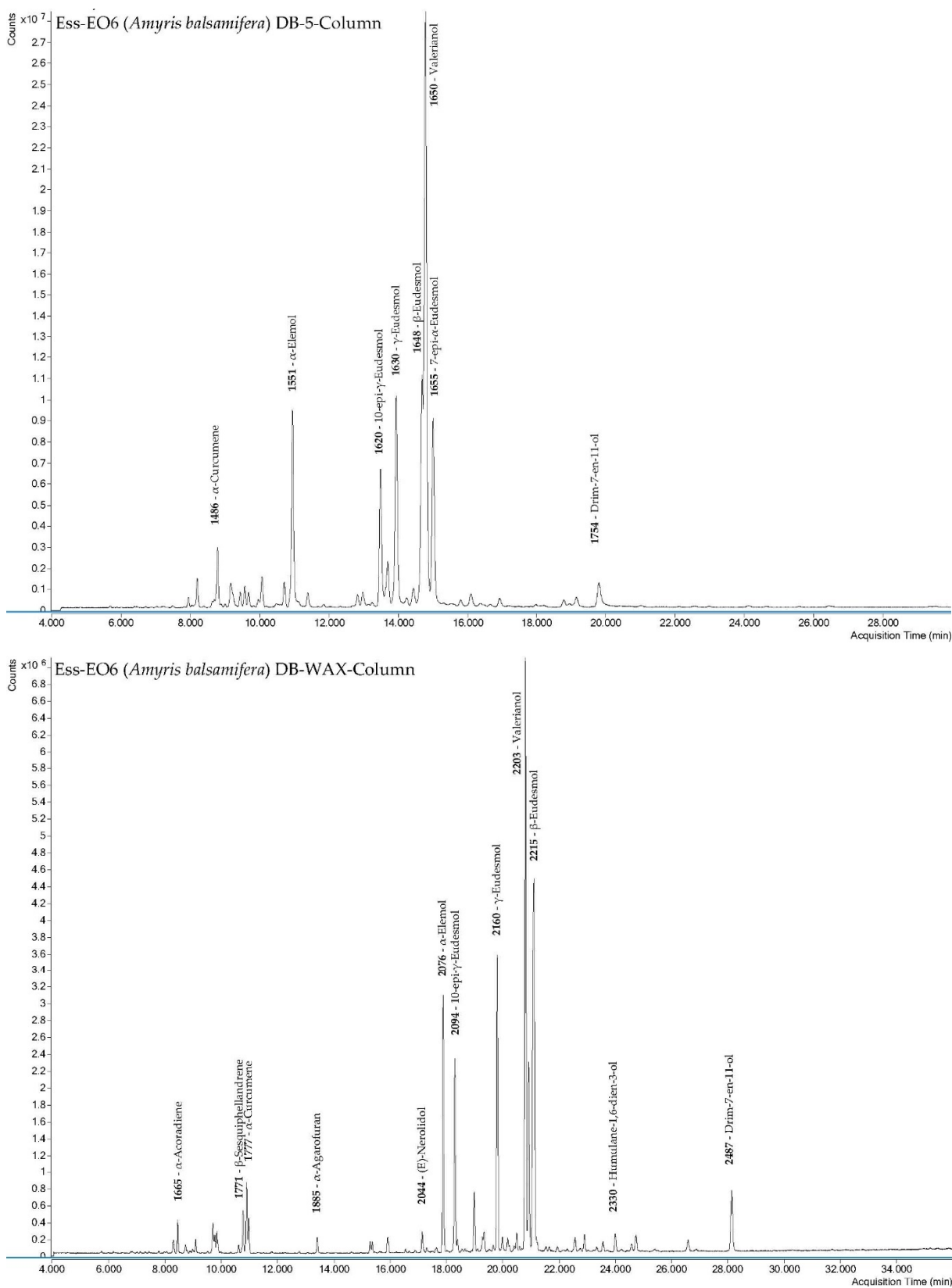


Figure S16. GC-MS chromatograms of Ess-EO6 on DB-5 and DB-HeavyWAX-columns

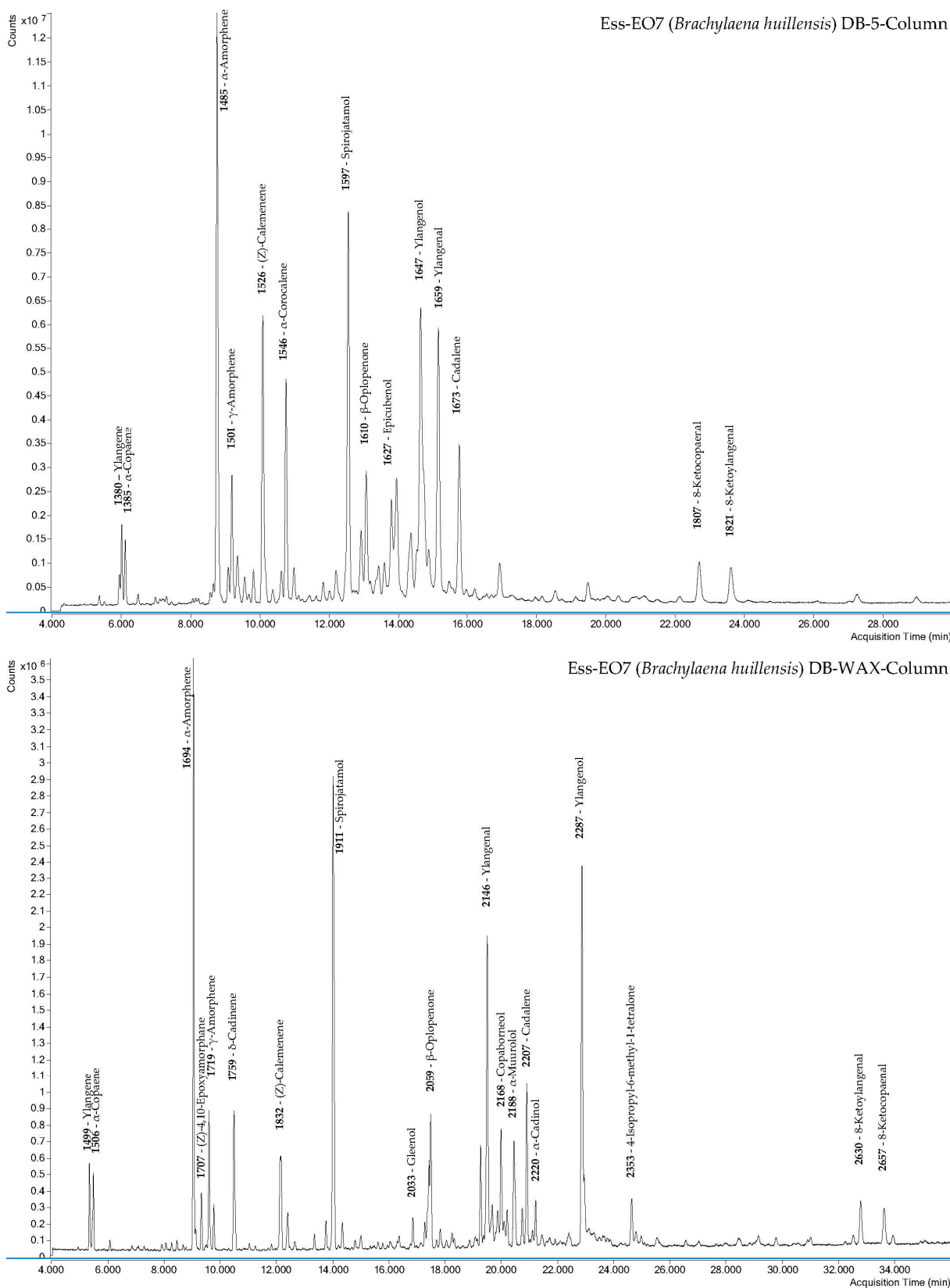


Figure S17. GC-MS chromatograms of Ess-EO7 on DB-5 and DB-HeavyWAX-columns

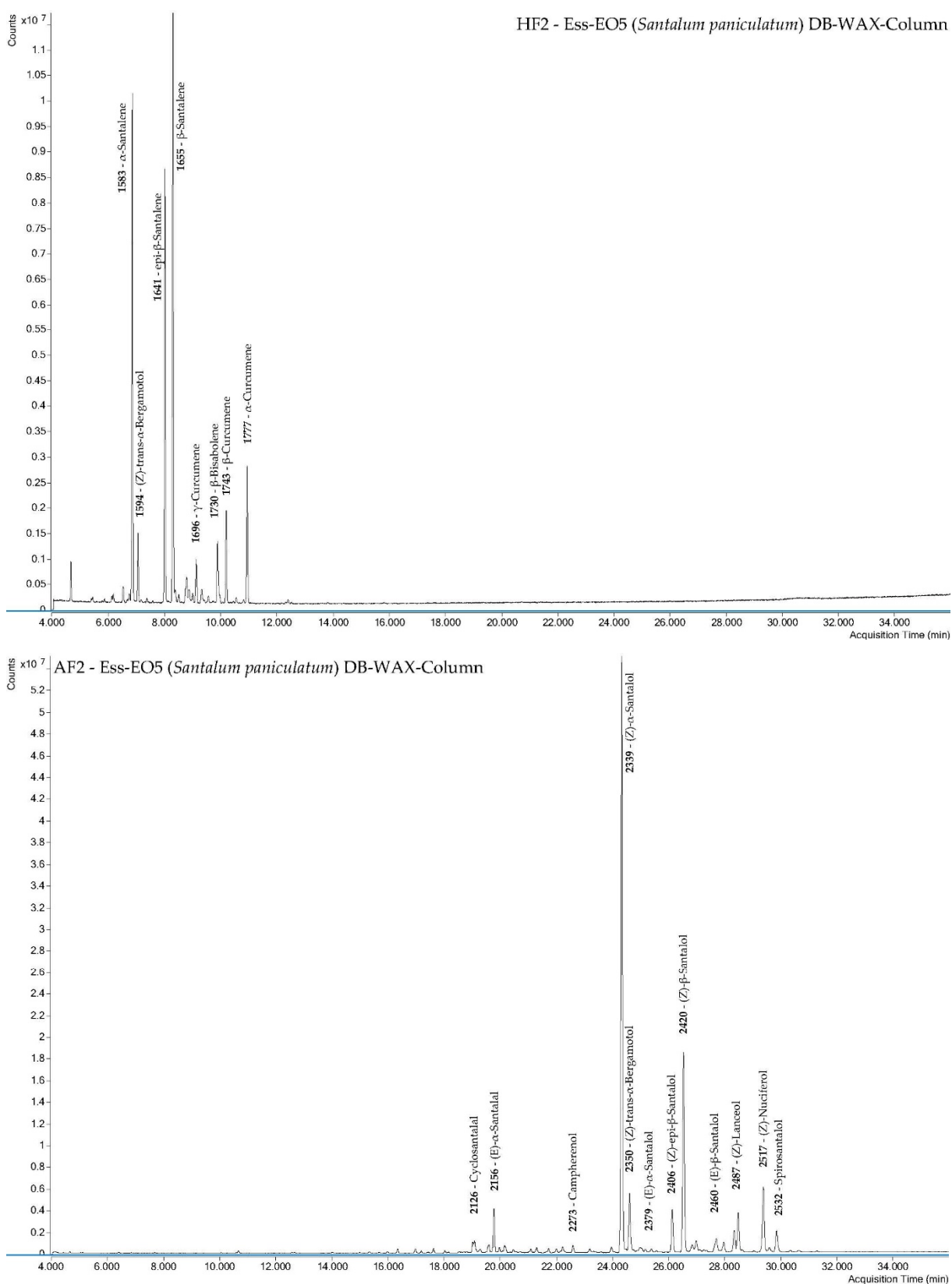


Figure S18. GC-MS chromatograms of hydrocarbon fraction (HF2) and alcohol fraction (AF2) on DB-HeavyWAX-column

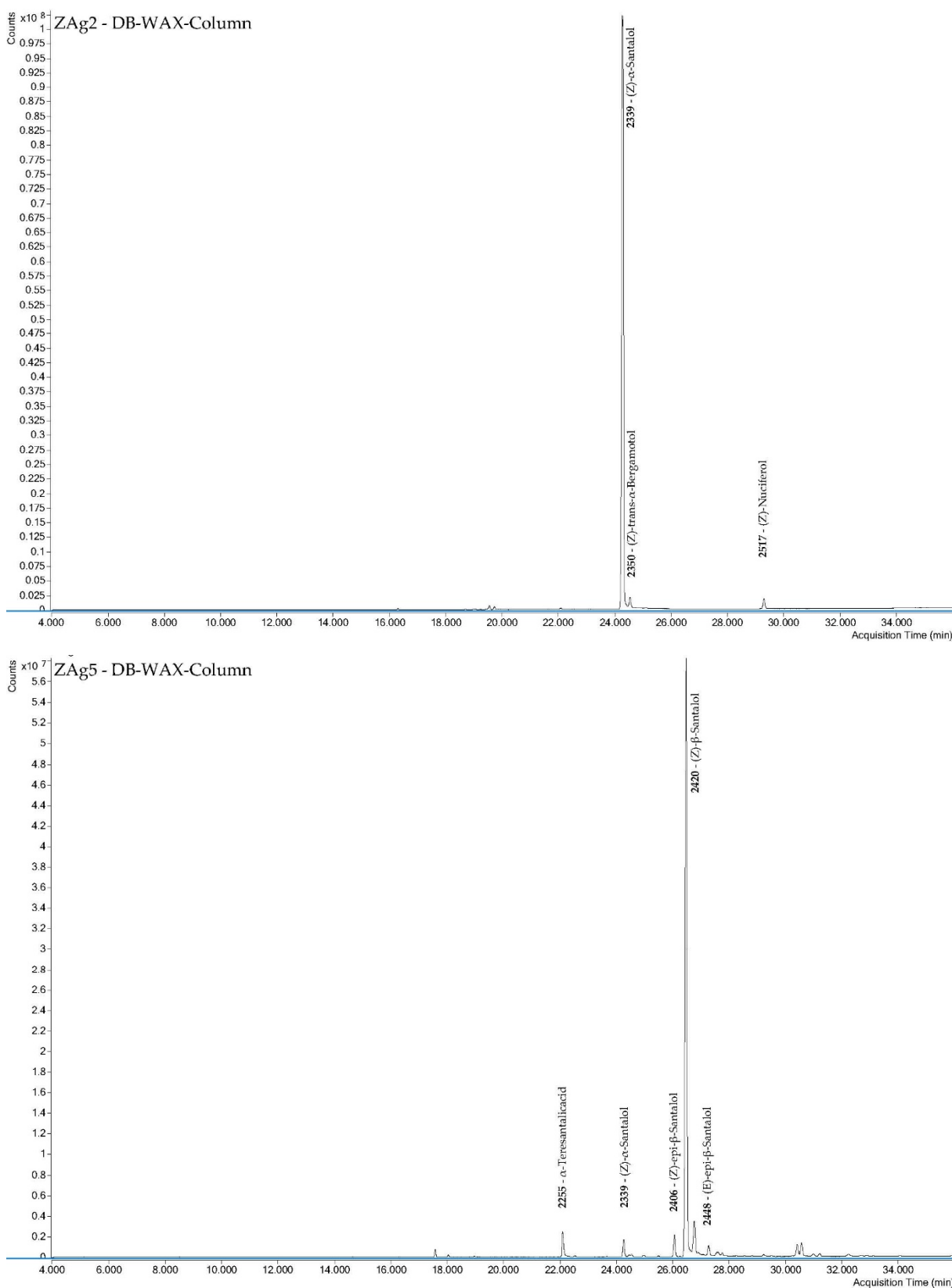


Figure S19. GC-MS chromatograms of (Z)- α -Santalol fraction (ZAg2, above) and (Z)- β -Santalol fraction (ZAg5, below) on DB-HeavyWAX-column

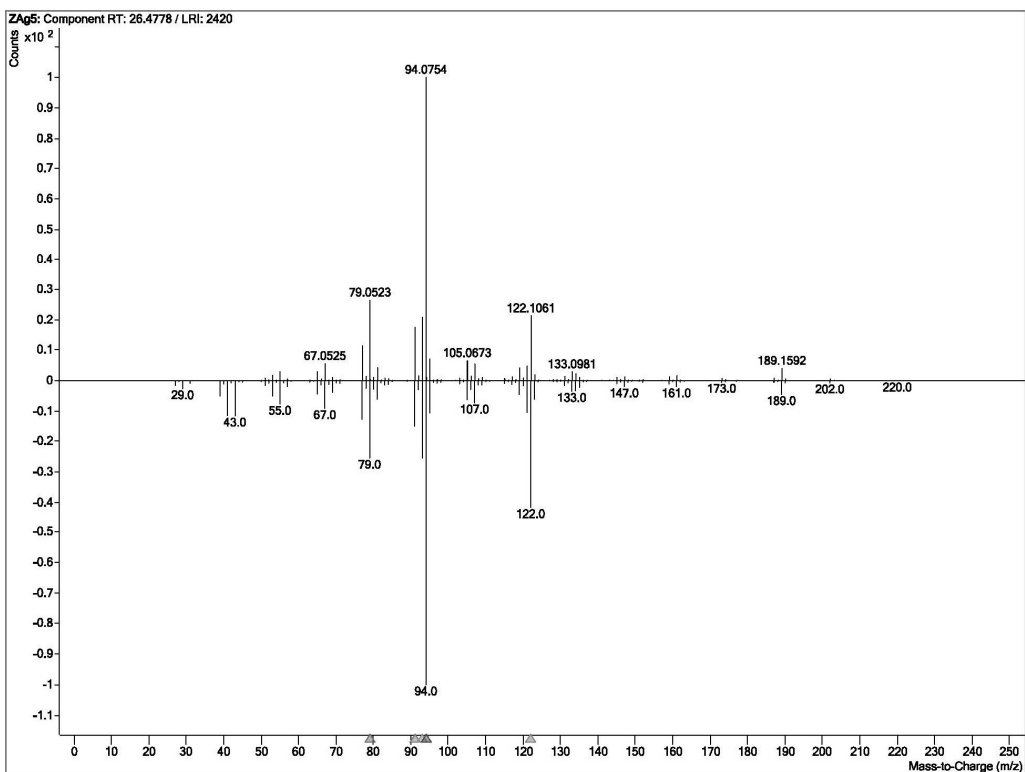
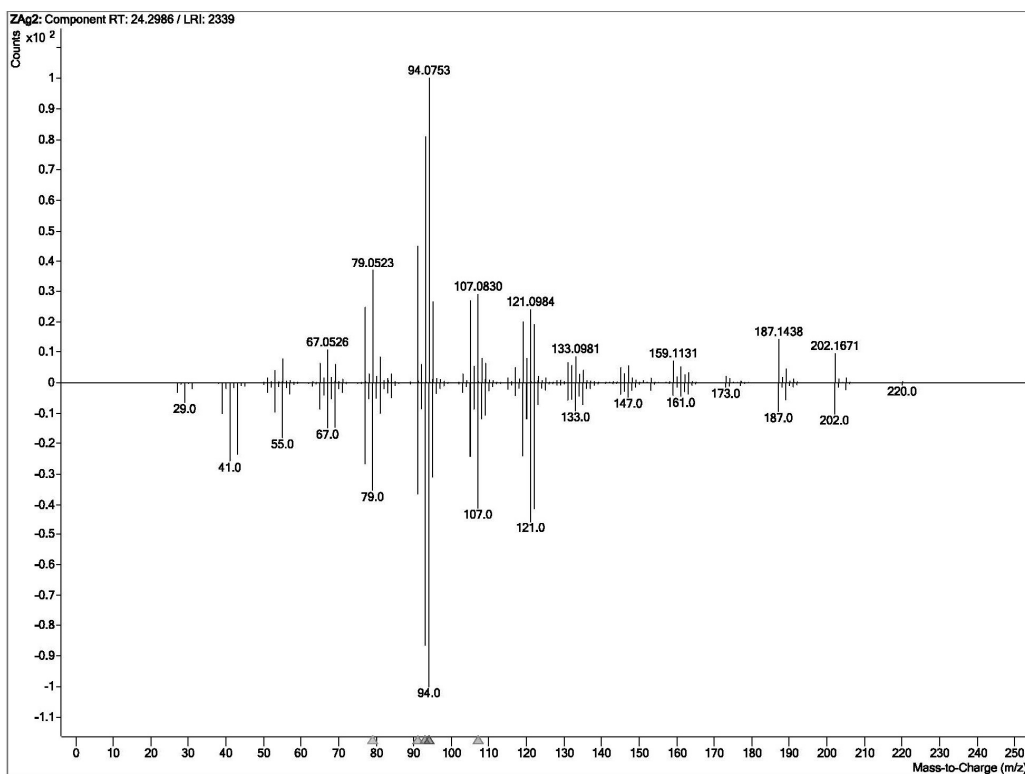


Figure S20. GC-QTOF Mass spectra of isolated (*Z*)- α -Santalol (fraction ZAg2, above) and (*Z*)- β -Santalol (fraction ZAg5, below). Measured spectra are plotted upward in direct comparison with NIST library spectra, pointing downward.